

## 不飽和浸透流における土壤内脱窒過程

広島大学工学部 正 寺西 靖治  
 " " ○山口 登志子  
 広島市 大村 昭彦  
 日本上下水道設計 小笠原 剛

## 1. はじめに

土壤内浸透処理法における汚水のN除去は主に硝化・脱窒素による(急速浸透法)。筆者らの従来の研究から飽和浸透流においては土壤内脱窒素は比較的容易に進行することが明らかになつた。そこで、本研究では好気的条件と考えられる不飽和浸透流において脱窒素がどの程度進行するかを調べる。土壤カラムを用いて  $KNO_3$  溶液の連続供給実験を行い、カラム内の各N成分( $NO_3-N$ ,  $NO_2-N$ ,  $NH_4-N$ )の時空分布を測定する。また土の脱窒活性、脱窒菌数、土壤間隙内のガス組成などについても調べ、不飽和流における脱窒について考察する。

## 2. 実験方法

実験に用いた土壤カラムを図1に示す。カラム上端より  $KNO_3$  溶液を供給し、図1の各採水口より試料溶液を採取して  $NO_3-N$ ,  $NO_2-N$ ,  $NH_4-N$  のカラム内分布を測定した。本実験ではまず供給液濃度を  $20 \text{ mg}/\text{l}$  として3本のカラムを用い、採水間隔をかえてカラム内のガス組成を測定しながら、吸引採水の脱窒素に与える影響を調べた(Run1)。次に3本のカラムへの供給液濃度をそれぞれ  $20, 40, 60 \text{ mg}/\text{l}$  とし、Run1と同様の条件で実験を行つた(Run2)。実験条件を表1に示す。実験温度は  $30^\circ\text{C}$  (湿度50%)である。供給液には  $KNO_3$  を用い、水素供与体としてメタノールを  $C/N = 1.0$  となるよう添加した。土壤カラムへの充てん土は、脱窒菌種植により土の脱窒活性を高める目的でマサエに細土と2%添加した混合土を用いた。充てん量は  $21.1 \sim 26.6 \text{ kg}$  (乾土)、間隙率は39~46%である。土壤内溶液については上述の各N成分の分析を行い、流出水についてはさらにpH, EC, TN, TOC, DO, ORP, BOD, COD, 酸消費量などの分析を行つた。カラム内(土壤間隙中)のガス組成( $N_2$ ,  $O_2$ ,  $CO_2$ )、実験前後の土のTN、脱窒活性、脱窒菌数、含水比についても測定した。

## 3. 結果と考察

3-1  $NO_3-N$  のカラム内分布: Run2のカラム2-20について  $NO_3-N$  のカラム内分布の経時変化を図2に示す。本研究では  $NO_3-N$  供給濃度と  $C_s$  とし、実測濃度( $C$ )と相対濃度  $C/C_s$  で表わした。 $NO_3-N$ ,  $NH_4-N$  はほとんど検出されなかつたので  $NO_3-N$  についてのみ考察する。図2に示すように  $NO_3-N$  はカラム内で徐々に減少している。時間とともに  $NO_3-N$  減少量は増加し、 $NO_3-N$  減少率は60~70日で約50%である。カラム2-40, 2-60でも同様の傾向がみられたが、この2本のカラムはいずれも実験終後、約70日で目詰まりを起し、

湛水状態となつたので実験を中止した。表1に示すように2-40, 2-60の供給濃度はそれぞれ  $40, 60 \text{ mg}/\text{l}$  であり、 $NO_3-N$  の質量フラックスはそれぞれ  $3, 6 \text{ g}/\text{m}^2 \cdot \text{day}$  となる。したがって質量フラックス  $3 \text{ g}/\text{m}^2 \cdot \text{day}$  以上では目詰まりを起こす可能性が大きいといえろ ( $C/N = 1.0$ )。

Run1では表1に示すように各カラムで採水間隔をかえて実験を行つたが、いずれのカラムでも図2とほぼ同

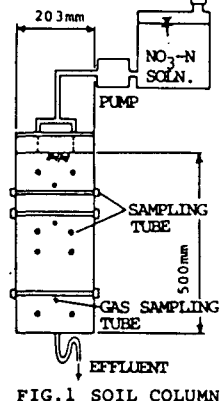


FIG.1 SOIL COLUMN

TABLE 1 DATA OF EXPERIMENT

Run	column	concentration of $NO_3-N$ (mg/l)	application rate (mm/day)	sampling period (day)
1*	20a	20	150	2-10
	20b		140	10
	20c		150	20
2**	2-20	20		
	2-40		150	2-8
	2-60		60	

\* period of experiment: 84 days  
 \*\* " " : 72 days

様の結果がえられた、とくに吸引排水の影響は認められなかつた。NO<sub>3</sub>-N減少率は30~50%であつた。

3-2 カラム内ガス組成：土壤間隙中のガス組成は図1のガス採取口よりシリングでガスを採取してガスクロマトグラフにより分析した。表2にRun 2の各カラムのガス組成を示す。N<sub>2</sub>, O<sub>2</sub>については空気の組成と大差がないが、CO<sub>2</sub>が1%程度検出されている。N<sub>2</sub>Oは検出されなかつた。各カラムとも上・中・下層（土壤表面より7, 17, 35cm）での相違はほとんどみられない。

Run 1についても同様であった。カラム内でNO<sub>3</sub>-Nが30~50%減少しているに

もかかわらず、N<sub>2</sub>ガスの増加が認められないのはN<sub>2</sub>ガス発生量が約30 mg/day程度（NO<sub>3</sub>-N減少量をN<sub>2</sub>ガス発生量に換算した場合）と微量であるためと考えられる。本実験におけるNO<sub>3</sub>-N減少率は3-1で述べたカラム内分布の経時変化や後述する種々の測定結果から脱窒と考えることができる。

3-3 土の脱窒活性・脱窒菌数：実験前後の土の脱窒活性を表3に示す（Run 1）。脱窒活性は乾土20gにNO<sub>3</sub>-N 5mgを添加し（C/N=1.0, Xタール）、48時間後のNO<sub>3</sub>-N量を測定してその減少率で表わした。実験終了後の脱窒活性は0~5, 5~15, 20~30, 35~45cmの各深さについて測定したが、深さ方向では大差がなかつた。Run 2では上層より中・下層での活性が高くなる傾向がみられた。いずれの場合も実験前に比べて実験後の活性は明らかに増大している。図3に脱窒菌数の分布を示す（Run 1）。実験後の脱窒菌数は実験前に比べてやや減少している。

3-4 脱窒反応速度：本研究では反応移流分散方程式による実測データの解析を試みたが、脱窒反応を单纯な0次、1次反応あるいはMichaelis-Menten型反応式を記述できることがわかつた。そこで反応移流分散方程式の差分式を用いて反応項（脱窒反応速度）を計算した。NO<sub>3</sub>-Nの実測値をスライス補間し、△z=5cm, Δt=1日として各格子点での反応速度を求めた。えられた反応速度の時空間分布の1例を図4に示す。

3-5 土のTN：土のTNは実験前後で大差なく（1.1~3.8×10<sup>2</sup> mg/kg），土へのNの蓄積は認められなかつた。

#### 4.まとめ

本研究で得られた結果は次のとおりである。

1) 不饱和流における30~50%の脱窒率がえられた。2) NO<sub>3</sub>-Nの質量フラックス 38/m<sup>2</sup> day以上（C/N=1.0）で1日目つまりと生じる可能性が大きい。3) えられた脱窒反応速度の値は-5.0~2.6 mg/e. hrである。

参考文献1)山口・寺西；「飽和流における土壤カラム内脱窒素」、下水道協会誌、22(249) p.55~59(1985)

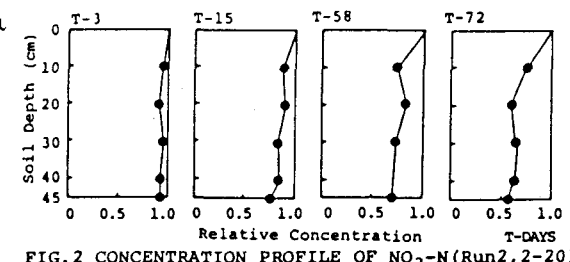
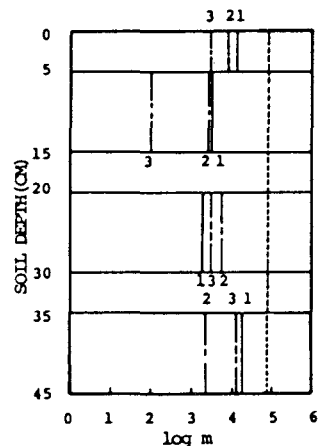


FIG. 2 CONCENTRATION PROFILE OF NO<sub>3</sub>-N (Run 2, 2-20)

column	TABLE 2 COMPOSITION OF GAS (%)		
	N <sub>2</sub>	O <sub>2</sub>	CO <sub>2</sub>
2-20	76-81	19-21	0.5-1.1
2-40	74-80	20-21	0.3-0.7
2-60	74-81	19-22	0.1-0.6

column	TABLE 3 ACTIVITY OF DENITRIFIER (Run-1)	
	before experiment	after experiment
20a		50-60
20b	20-30	40-60
20c		50-80



m:MPN/lg(dry soil)  
1:20a 2:20b 3:20c  
--- before experiment

FIG. 3 DISTRIBUTION OF DE-NITRIFIER (Run-1)

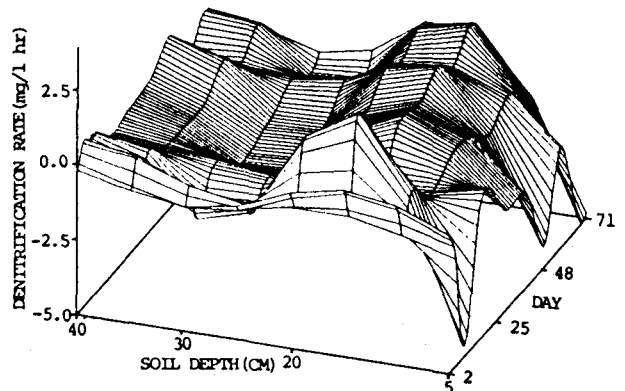


FIG. 4 EVOLUTION OF DENITRIFICATION RATE (Run-2, 2-40)